

Bild 5.12: Wahrscheinlichkeitsdichte einer Gauß-Verteilung zweier Variabler (links) und zugehörige Kovarianzellipse (rechts). Die drei Zeilen des Bildes unterscheiden sich nur durch den Zahlwert des Korrelationskoeffizienten ρ .

- aus S. Brandt Datenanalyse

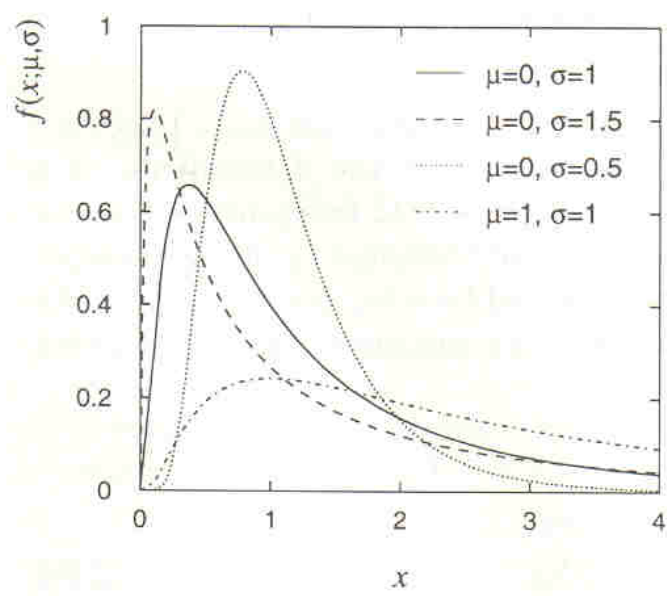


Fig. 2.6 The log-normal probability density for several values of the parameters μ and σ .

- aus G. Cowan Statistical Data Analysis

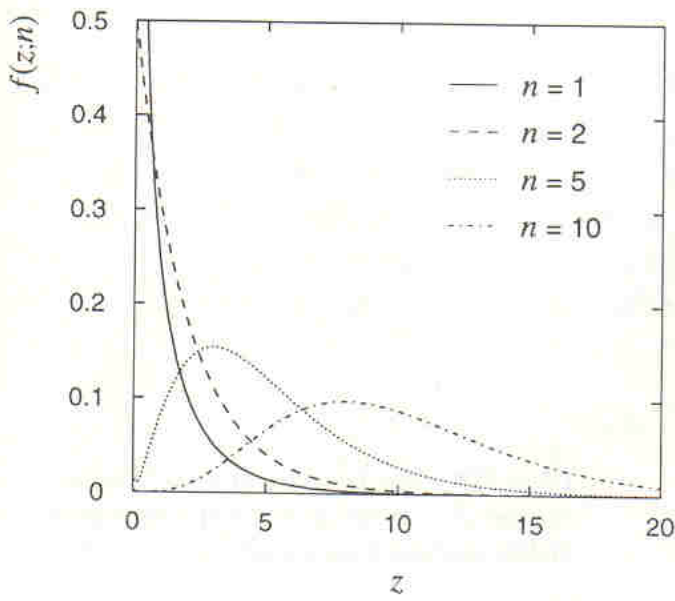


Fig. 2.7 The χ^2 probability density for various values of the parameter n .

- aus G. Cowan Statistical Data Analysis

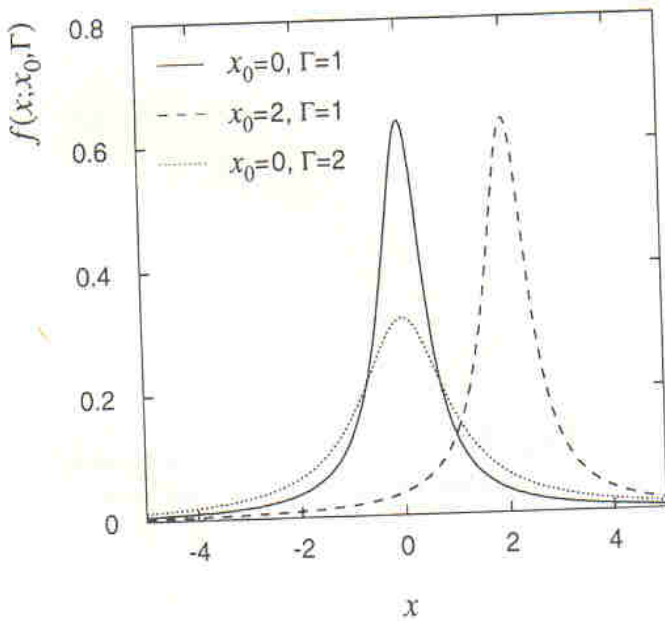


Fig. 2.8 The Cauchy (Breit-Wigner) probability density for various values of the parameters x_0 and Γ .

- aus G. Cowan Statistical Data Analysis